

岐阜大学工学部 正員 ○井上 篤
同上 時実 公生

1. 序 アーチの振動については、WaltKing¹⁾ が、軸線の伸びを考慮して、円形エッジアーチについて、その振動モードとその固有振動数とを求めてい。アーチが固定端とともに、曲率や断面が変化するようなどきには、近似的な方法で解を求めるだければよろしく。このことは WaltKing によるアーチの運動方程式から出発し、その近似解法として、差分法と用いてアーチの自由振動の固有振動数とその振動モードとを計算したものである。

2. 運動方程式とその差分表示

アーチの曲率半径を R 、断面二次モーメント: J 、断面積: A 、アーチ材料の弾性係数: E として、次のようないくつかの式が得られる。(図-1)

$$\left. \begin{aligned} \frac{\partial Q}{\partial \theta} + N + X R = 0 \\ \frac{\partial X}{\partial \theta} - Q + Z R = 0 \\ \frac{\partial M}{\partial \theta} - QR = 0 \end{aligned} \right\} \quad (1) \quad \left. \begin{aligned} N = \frac{EA}{R} \left(\frac{\partial w}{\partial \theta} - u \right) \\ M = -\frac{EI}{R^2} \left(\frac{\partial^2 u}{\partial \theta^2} + \frac{\partial^2 w}{\partial \theta^2} \right) \end{aligned} \right\} \quad (2)$$

(1) より、 R は θ の関数である。

$$\left. \begin{aligned} R \frac{\partial^2}{\partial \theta^2} \left(\frac{1}{R} \frac{\partial M}{\partial \theta} + \frac{\partial^2 M}{\partial \theta^2} \right) + NR + XR^2 = 0 \\ R \frac{\partial X}{\partial \theta} - \frac{\partial M}{\partial \theta} + ZR^2 = 0 \end{aligned} \right\} \quad (3)$$

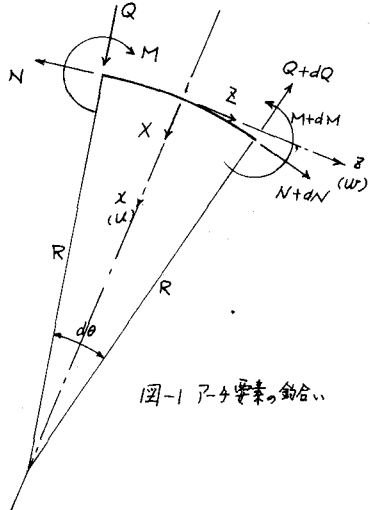


図-1 アーチ要素の力学

A , J , R は θ の関数であることを考慮して、(3) は (2) を代入し、得られた u , w についての Diff. Eq. とそのままで差分表現に直すのが、通常の手続ではあるが、これによつて得られたアーチの Stiffness Matrix は、変断面、変曲率のため、一般には対称とはならず、相反作用の差程が成立しない不合理が現われてくる。(だが) 微係数の差分表現と、直接に、(3) および (2) について用いることを試みた。これは、あるいはは誤差を多く減らせる可能性もあるが、少なくとも、是半至、変断面の場合においては、Maxwell-Betti の定理の成立と目標とした。アーチとその中立角と等間隔入分割し、たとえば、普通精度の差分表現を用いて、(3) は

$$\left. \begin{aligned} (R_i C_1 + 2C_2) \bar{M}_i + 2\lambda^2 R_i C_2 \bar{N}_i + 2\lambda^2 X_i R_i^2 = 0 \\ \lambda R_i C_3 \bar{N}_i - \lambda C_3 \bar{M}_i + 2\lambda^2 Z_i R_i^2 = 0 \end{aligned} \right\} \quad (4)$$

$$\left. \begin{aligned} \bar{M}_i = -E \left(\frac{J_i}{R_i^2} \right) (K_{1i} \bar{U}_i + K_{2i} \bar{W}_i) \\ R_i \bar{N}_i = E \left(\frac{A_i}{R_i} \right) R_i (-2\lambda^2 K_{2i} \bar{U}_i + K_{1i} \bar{W}_i) \end{aligned} \right\} \quad (5)$$

ここで i は第 i 番目の分割点を意味し、 $R_i = R_i \frac{\partial}{\partial \theta} (\frac{1}{R})_i$ 、 J_i , A_i , R_i は基準の J , A , R である。また、 $C_1 = [1, -2, 1]$, $C_2 = [0, 1, 0]$, $C_3 = [-1, 0, 1]$, $\bar{M}_i = \{M_{i+1}, M_i, M_{i-1}\}$, $\bar{N}_i = \{N_{i+1}, N_i, N_{i-1}\}$, $\bar{U}_i = \{U_{i+2}, U_{i+1}, U_i, U_{i-1}, U_{i-2}\}$, $\bar{W}_i = \{W_{i+2}, W_{i+1}, W_i, W_{i-1}, W_{i-2}\}$, $K_{1i}, K_{2i}, K_{1i}', K_{2i}'$; (3, 5) の 7 行目等である。

(4) K (5) を代入して

$$\begin{cases} (\beta_2 \lambda C_3 + \mu C_1) K_{ii} + \beta \alpha d_i C_2 K_{ii}, & (\beta_2 \lambda C_3 + \mu C_1) K_{ii} - \beta \alpha d_i C_2 K_{ii} \\ -\lambda C_3 K_{ii} + \beta \alpha d_i C_2 K_{ii}, & -\lambda C_3 K_{ii} - \alpha d_i C_2 K_{ii} \end{cases} \begin{bmatrix} \bar{U}_i \\ \bar{W}_i \end{bmatrix} = \frac{\beta^2}{EJ_0} R_0^4 d_i^2 \begin{bmatrix} X_i \\ Z_i \end{bmatrix} \quad (6)$$

μ, β ; 使用する階差表現の精度によりまするもの。通常精度では $\mu=2, \beta=2\lambda^2$, $d_i=R_i/R_0, Q_0=\frac{(A_0)}{(R_0^2)}R_0$

(6) を用いて、アーチ全体の Stiffness Matrix を k とおいてしま。振動状態になると、荷重の項 $P_{(T)}$

X_i, Z_i は、慣性項として取扱つてしま。したがって、行列表示を用いて、運動方程式が作成でき。

3. 計算例

取扱つたアーチの形は、円と放物線、厚さの変化は $T=T_0+(T_1-T_0)\frac{1-\cos(\theta-\alpha_B)}{1-\cos(\alpha_A-\alpha_B)}$ といた。計算は、両端固定の対称アーチについて行ない、計算値

の割合から、アーチと直角等方いた。

曲率の変化の影響および断面変化の影響と
あたために、同一のスパン（円と半径 50m,
 $\alpha_B=2\times 36^\circ 51' 12''$, $l_0=60m$ ），同一の断面
(アーチラウンドについて) のアーチについて、
その対称 (U 形窓) の最低次振動のモードを、それぞれ、図-3, 図-4 とす。ここで
 β はアーチのスパンと断面の関係と等しい
のパラメータであつて

$$\beta = l_0 / \sqrt{\frac{J_0}{A_0}} \quad \text{である。}$$

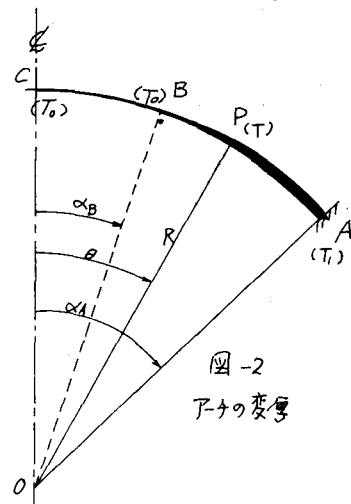


図-2
アーチの変厚

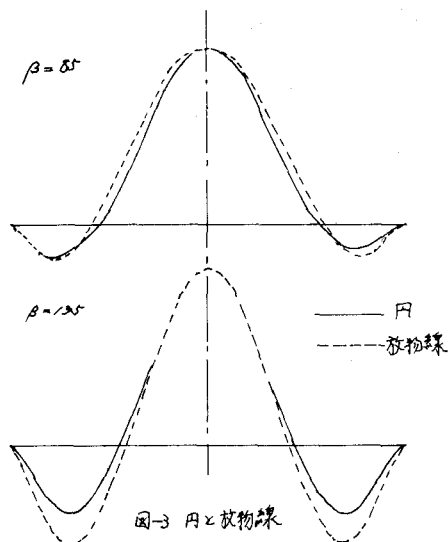


図-3 円と放物線

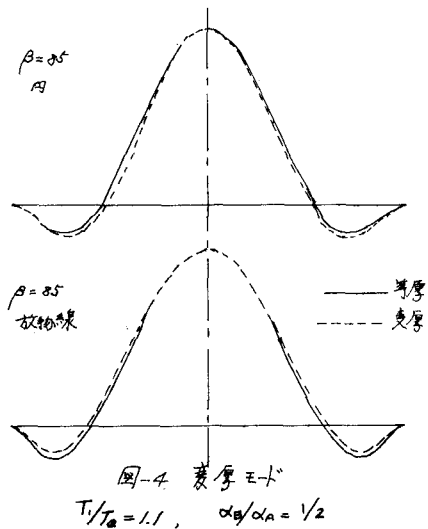


図-4 裏厚アーチ
 $T_1/T_0 = 1.1, \alpha_B/\alpha_A = 1/2$

D. Wulking; Schwingungszahlen u. Schwingungsformen von Kreisbogenträgern, Ing.-Arch., Bd. 5, S. 429~449, 1934

2) Math. Gordon B.; Numerical Analysis of Noncircular Cylindrical Shells, ASCE, Vol. 93, EM3, p. 219~237, 1967